Vol. 18 No. 3 Sep. 2001

文章编号:1005-0523(2001)03-0029-02

# 非剪胀性软土隧道的土体变的预测

包忠有1, 刘星辉2, 周立新2

(华东交通大学 土木建筑学院 江西 南昌 330013;2. 宜丰县建筑设计院 江西 宜丰 3363000)

**摘要:**提出一种简单的分析方法,分析非翦胀性地层变菜性状,并将结果与试验资料对比分析,预测圆形隧道周边变形和地表沉降的分布形式及规律19.

关键词: 软土隧道; 土层变形; 非剪胀性土中图分类号: TU4 文献标识码: A

## 0 引 🚖

在城市中,经常会有地下工程的兴建,从使用和成本诸因素上考虑,这些地下工程的开挖的深度都不大19. 所以探讨浅埋地下工程的开挖对地表的影响,在实际操作时显得非常重要19.对于软土隧道地表沉降的分析,主要有室内试验、现场试验和理论研究<sup>[1,2]</sup>,本文旨在提出一种简化方法分析浅韩隧道开挖时,非剪胀地层的变形及预测19.

## 1 土层变形假设与原理

土介质中浅埋洞室,地层沉降的主要原因是洞室顶板所致<sup>19</sup>假定地质体积的变化可以忽略不计,则可获得地面沉降和洞室顶板下沉之间的关系<sup>19</sup>.这种方法比较适用于非剪胀性土<sup>19</sup>.

如土层下沉以单位重量 W1 土体条为单元划分,(如图 1 所示) 土体为非剪胀土,土体条圆孔边缘处径向位移量与土体径向重量分量成正比,即

$$S_r = A W_{1} \cos \theta \tag{1}$$

式中 Sr 为隧道周边土体条径向位移值;

A 为比例系数;

W1 为土体条单位体积重量19.

孔洞周边竖向位移值为

$$S_{ry} = S_{r\cos} \theta \tag{2}$$

拱顶的最大位移的

$$S_{r} \max = A W_1 \tag{3}$$

所以 
$$S_{xy}/S_{r}$$
max =  $\cos^2 \theta$  (4)

根据土体非剪账性假设可以得到(如图2所示)

$$dR = rdr/R$$

洞室顶土层中,任一点(x,y) 处竖向位移 S(x,y) 为

$$S(x,y) = dR \cdot \cos \theta = r \cdot S_r \cos^2 \theta / R \qquad (5)$$
 将式(1)、(2)代入(5)式得

$$S(x,y) = rS_r \max \cos^2 \theta / y$$
 (6)  
引入主要影响范围  $\beta$ 的概念, 取  $tg$   $\beta$ = 1.  $3^{[3]}$ , 则地表的沉降表示为

$$S(x,H) = (rS_{r} \max cos(90 \ \theta))/H$$
 (7)  
最大地表沉降与最大拱顶沉降之比为

$$S(O,H)/Srmax = r/H$$

实际洞室四周的变形图形,以及模型试验所表明的变形与圆(3) a 相似19如圆形洞室变形后仍为圆形,于是隧道周边整个地层损失的体积与隧道周边土的位移体积相等19.则可得到

$$\pi^{2} - \lambda_{r} - \frac{S_{r} \max}{2})^{2} = \pi \frac{H + r}{2})^{2} - \lambda \left(\frac{H + r - S(O, H)}{2}\right)^{2}$$

由此可得

$$S(O,H) = 2rS_r \max/(r + H)$$
 (8)

地表下深度y处的沉降为

$$S(O,y) = 2rS_r \max/(r + y)$$

$$(H - r \leq y \leq H)$$
(9)

#### 地表沉降表示为

$$S(x, H) = (2rS_r \max \cos^2(90 \, \theta \, \beta)) / (r + H)$$

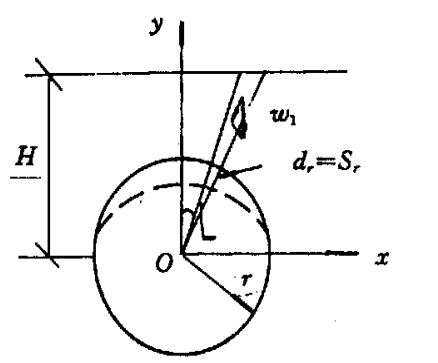


图 1 土体变形示意图

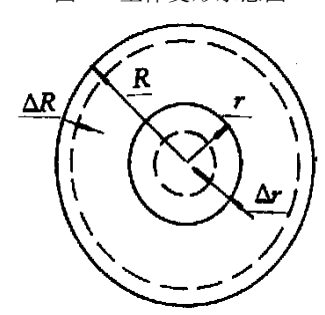


图 2 洞室四周变形假定

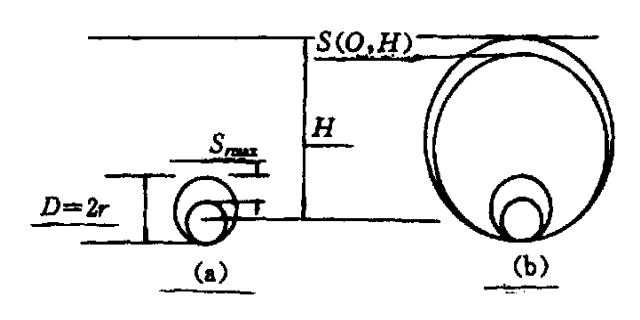
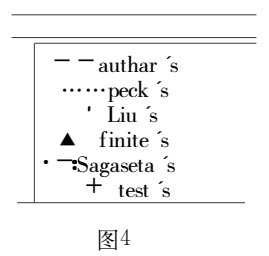


图 3 洞室周边和地表变形

## 2 结果分析

为了评价本文分析方法的可靠性适应范围,将本文公式已有的某些相应成果进行比较19.



peck; 为 I = H/2 时,曲线  $s = Smaxexp(-x^2/2t^2)$  authar's 为本文分析结果 finite's 为弹性有限元计算 test's 为现场测试结果 sagaseta's 为 sagaseta 的分析结果 Lin's 为[3]分析结果

a· 地表沉降形式比较:图 4 为分析方法及实测某隧道数据与派克提出的统计函数  $exp(-x^2/2t^2)$ 等曲线的比较[1表明实测资料与函数 $(2rcos^2(90 \mbox{ } \mbox$ 

b. 沿垂直断面沉降变化规律: 其变化规律可用 下式表示  $S(O,H) = 2rS_{r}\max/(r + H)$ 即  $S(O,y)/2r\max = 2r/(r + H - z)(z = H - y)$  (11)

图 5 为拱顶沿垂直轴线土层沉降变化,所分析结果与弹性有限元和sagaseta 结果比较相符 19从而表明本文所表达的公式可作为浅埋隧道沉降分布的计算方法 19.

+ sagaseta 's
- authar 's
- finits 's

图5说明

## 参考文献:

- [1] Sagaseta C·Analysis of underground soil deformation due to ground loss[J]·Geot 1987, 37(3):301
- [2] Vafaeian M·Aralysis of soil behavior during excaoation of shallow tunnel[J]·Geot Eng. 1991, (22):257
- [3] 刘宝琛,林德璋.浅部隧道开挖引起的地表移动和变形[J].地下工程,1983,(7):1

## Predicting Deformation during Excavation of Clay Tunnel

BAO Zhong-you<sup>1</sup>, LIU Xing-hui<sup>2</sup>, ZHOU Li-xing<sup>2</sup>

(1. School of Mechanical Engineering, East China Jiaotong Univ., Nangchang. 330013;

2. Yi feng Academy of Architeture and Design, Yi feng 336300, China)

Abstract: When a shallow day tunnd is excavated in soft ground, the ground above and on the both sides of the tunnel deforms towards the opening. A simple analysis method is put forward in this paper. It can forecast the deformation around tunnel and the settlement of the earth's surface.

中国知网 https://www.cnki.net

Key words: clay tunnel; soil deformtion; undilatation